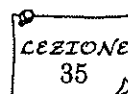


6

Operazioni su segnali aleatori



Dopo la parte dedicata ai sistemi lineari, vediamone il loro uso con i segnali aleatori.

6.1 Potenza di un segnale aleatorio

Dato un segnale aleatorio $\mathbf{x}(t)$, SSL almeno, abbiamo già definito, “di passaggio” nel paragrafo 3.4 a pag. 89, la potenza del processo come

$E\{\mathbf{x}^2(t)\}$ valor medio della potenza istantanea normalizzata

Vediamo ora di approfondire questa definizione.

Consideriamo una generica funzione-campione $\mathbf{x}(t, s_i)$ e la sua potenza media su un intervallo temporale $(-\frac{T}{2}, \frac{T}{2})$ finito.

$$P_T(s_i) = \frac{1}{T} \int_{-\frac{T}{2}}^{\frac{T}{2}} \mathbf{x}^2(t, s_i) dt$$

Questa è una *variabile casuale*, in quanto dipende dall'uscita sperimentale s_i . Inoltre dipende dall'intervallo temporale T su cui è calcolata.

Prendendo il *valore medio statistico*

$$E\{P_T(s_i)\}$$

si definisce potenza media di $\mathbf{x}(t)$ la quantità

$$\boxed{\bar{P} \triangleq \lim_{T \rightarrow \infty} E\{P_T(s_i)\}} \quad \text{potenza media di } \mathbf{x}(t)$$

se il limite esiste ed è finito.

Questa definizione corrisponde a quella già data in precedenza. Infatti

$$\bar{P} = \lim_{T \rightarrow \infty} \frac{1}{T} \int_{-\frac{T}{2}}^{\frac{T}{2}} \underbrace{E\{\mathbf{x}^2(t)\}}_{\text{costante se } x(t) \text{ è stazionario}} dt = E\{\mathbf{x}^2(t)\} = P_{\mathbf{x}}$$

Si ha anche, come già detto al paragrafo 3.7

$$P_{\mathbf{x}} = \sigma_{\mathbf{x}}^2 + \eta_{\mathbf{x}}^2 = R_{\mathbf{x}}(0)$$

Se il numero $P_{\mathbf{x}}$ è finito $\neq 0$ diciamo che $\mathbf{x}(t)$ è un segnale aleatorio a potenza finita.

6.2 Densità spettrale di potenza

Per i processi almeno stazionari in senso lato, si definisce *densità spettrale di potenza* (o anche *spettro di potenza*) la trasformata di Fourier dell'auto-correlazione $R_{\mathbf{x}}(\tau)$

$$\boxed{G_{\mathbf{x}}(f) \triangleq \int_{-\infty}^{+\infty} R_{\mathbf{x}}(\tau) e^{-j2\pi f\tau} d\tau} \quad \text{densità spettrale di potenza}$$

Poiché $R_{\mathbf{x}}(\tau) = R_{\mathbf{x}}(-\tau)$ (infatti la distanza in un verso o nell'altro non conta nella scelta degli istanti), cioè è reale pari, ne segue per le proprietà delle trasformate di Fourier che $G_{\mathbf{x}}(f)$ è reale e pari (funzione reale pari della variabile reale f).

Dall'inversione delle trasformata di Fourier si ricava

$$R_{\mathbf{x}}(\tau) = \int_{-\infty}^{+\infty} G_{\mathbf{x}}(f) e^{j2\pi f\tau} df$$

ponendo in quest'ultima formula $\tau = 0$ si trova

$$\boxed{R_{\mathbf{x}}(0) = P_{\mathbf{x}} = \int_{-\infty}^{+\infty} G_{\mathbf{x}}(f) df} \quad \begin{array}{l} \text{potenza media} \\ \text{come integrale di } G_{\mathbf{x}}(f) \end{array}$$

Poiché la potenza media totale $P_{\mathbf{x}}$ (costante perché si lavora con $\mathbf{x}(t)$ stazionari) può ricavarsi dall'integrale sulla variabile frequenza di una funzione $G_{\mathbf{x}}(f)$, è ragionevole interpretare tale $G_{\mathbf{x}}(f)$ come la densità frequenziale (cioè "spettrale") della potenza.

Vedremo tra breve come $G_{\mathbf{x}}(f)$ non possa mai essere negativa.

Uno spettro di potenza di un segnale aleatorio può essere *continuo*, *impulsivo* o *misto*.

Esempio (sinusoide a fase casuale):

Si consideri il segnale aleatorio

$$\mathbf{x}(t) = A \cos(\omega_0 t + \phi)$$

in cui A e ω_0 sono costanti e ϕ è una variabile casuale uniformemente distribuita tra 0 e 2π rad.

L'autocorrelazione di $x(t)$ é:

$$\begin{aligned} R_{\mathbf{x}}(t_1, t_2) &= A^2 E\{\cos(\omega_0 t_1 + \phi) \cos(\omega_0 t_2 + \phi)\} \\ &= \frac{A^2}{2} E\{\cos \omega_0(t_1 - t_2)\} + \frac{A^2}{2} E\{\cos \omega_0(t_1 + t_2) + 2\phi\} \\ &= \frac{A^2}{2} E\{\cos \omega_0(t_1 - t_2)\} \end{aligned}$$

Si vede già che

$$R_{\mathbf{x}}(t, t) = R_{\mathbf{x}}(0) = \frac{A^2}{2} = P_{\mathbf{x}}$$

Se l'autocorrelazione è

$$R_{\mathbf{x}}(\tau) = \frac{A^2}{2} \cos 2\pi f_0 \tau$$

la sua trasformata è

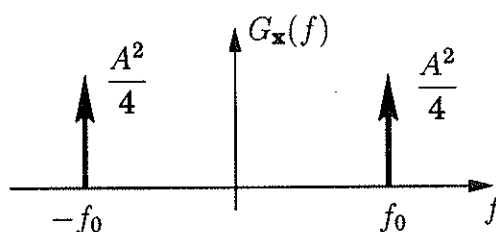
$$G_{\mathbf{x}}(f) = \frac{A^2}{4} \delta(f - f_0) + \frac{A^2}{4} \delta(f + f_0)$$

La potenza è l'integrale, cioè l'area totale degli impulsi

$$P_{\mathbf{x}} = \frac{A^2}{2}$$

come già trovato.

SPETTRO
IMPULSIVO



Esempio (modulazione):

Si consideri il segnale aleatorio

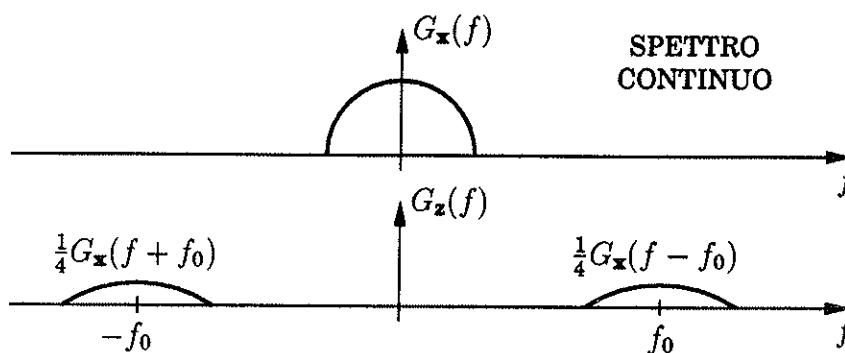
$$z(t) = x(t) \cos(2\pi f_0 t + \phi)$$

in cui $x(t)$ ha densità spettrale $G_x(f)$ e ϕ è v.c. come nell'esempio precedente, indipendente da $x(t)$. Quant'è lo spettro di potenza di $z(t)$?

$$\begin{aligned} R_z(t_1, t_2) &= E\{x(t_1) \cos(2\pi f_0 t_1 + \phi) x(t_2) \cos(2\pi f_0 t_2 + \phi)\} \\ &= E\{x(t_1)x(t_2)\} E\{\cos(2\pi f_0 t_1 + \phi) \cos(2\pi f_0 t_2 + \phi)\} \\ &= \frac{1}{2} \cos 2\pi f_0 \tau R_x(\tau) \end{aligned}$$

e quindi (teorema della modulazione reale)

$$G_z(f) = \frac{1}{4} G_x(f - f_0) + \frac{1}{4} G_x(f + f_0)$$



Se P_x è la potenza di $x(t)$, si ha evidentemente

$$P_z = \frac{1}{4} P_x + \frac{1}{4} P_x = \frac{P_x}{2}$$

6.3 Somma di due segnali aleatori

LEZIONE
36

Come è lo spettro di potenza di un segnale che sia somma di due segnali aleatori $x(t)$ e $y(t)$?

Assumiamo che $x(t)$ e $y(t)$ siano *incorrelati* e a *media nulla*, e stazionari.

Il segnale aleatorio

$$\mathbf{z}(t) = \mathbf{x}(t) + \mathbf{y}(t)$$

ha autocorrelazione

$$\begin{aligned} R_z(\tau) &= E\{[\mathbf{x}(t_1) + \mathbf{y}(t_1)][\mathbf{x}(t_2) + \mathbf{y}(t_2)]\} \\ &= E\{\mathbf{x}(t_1)\mathbf{x}(t_2)\} + E\{\mathbf{y}(t_1)\mathbf{y}(t_2)\} + E\{\cancel{\mathbf{x}(t_1)\mathbf{y}(t_2)}\} + E\{\cancel{\mathbf{y}(t_1)\mathbf{x}(t_2)}\} \\ &= R_x(\tau) + R_y(\tau) \end{aligned}$$

$$G_z(f) = G_x(f) + G_y(f)$$

$$E\{\mathbf{z}^2(t)\} = E\{\mathbf{x}^2(t)\} + E\{\mathbf{y}^2(t)\}$$

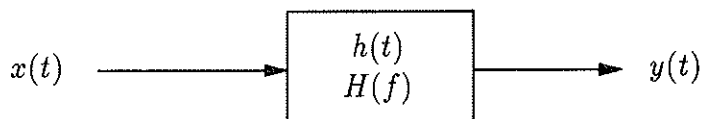
cioè

$$P_z = P_x + P_y$$

Poiché i segnali sono incorrelati e a media nulla, si sommano autocorrelazioni, densità spettrali e potenze.

6.4 Sistemi lineari con ingresso aleatorio

Abbiamo già visto come un sistema lineare sia definito da una funzione *risposta all'impulso unitario* (o delta di Dirac) [ovvero dalla sua trasformata di Fourier, detta funzione di trasferimento del sistema] e operi su un segnale di ingresso $x(t)$ nel seguente modo



$$y(t) = \int_{-\infty}^{+\infty} h(t')x(t-t') dt' = \int_{-\infty}^{+\infty} x(t')h(t-t') dt' = h(t) * x(t)$$

Se $\mathbf{x}(t)$ è un processo, si intende che l'uscita sperimentale si è fissata, di modo che l'ingresso è una singola funzione del tempo $\mathbf{x}(t, s_i)$.

Supponendo il processo $\mathbf{x}(t)$ in ingresso stazionario (almeno in senso lato), determiniamo l'autocorrelazione del processo di uscita $\mathbf{y}(t)$.

Procediamo per gradi allo scopo di trovare $E\{\mathbf{y}(t)\mathbf{y}(t-\tau)\}$ (due v.c. che distano τ).

Ricaviamo prima

$$\begin{aligned} E\{\mathbf{x}(t+\tau)\mathbf{y}(t)\} &= E\{\mathbf{x}(t+\tau) \int_{-\infty}^{+\infty} h(\alpha) \mathbf{x}(t-\alpha) d\alpha\} \\ &= \int_{-\infty}^{+\infty} \underbrace{E\{\mathbf{x}(t+\tau)\mathbf{x}(t-\alpha)\}}_{R_{\mathbf{x}}(\tau+\alpha)} h(\alpha) d\alpha \end{aligned}$$

Quindi

$$R_{\mathbf{xy}}(\tau) = \int_{-\infty}^{+\infty} R_{\mathbf{x}}(\tau+\alpha) h(\alpha) d\alpha$$

In modo simile troviamo

$$\begin{aligned} E\{\mathbf{y}(t)\mathbf{y}(t-\tau)\} &= E\left\{\int_{-\infty}^{+\infty} \mathbf{x}(t-\alpha) h(\alpha) d\alpha \mathbf{y}(t-\tau)\right\} \\ &= \int_{-\infty}^{+\infty} \underbrace{E\{\mathbf{x}(t-\alpha)\mathbf{y}(t-\tau)\}}_{R_{\mathbf{xy}}(-\alpha+\tau)} h(\alpha) d\alpha \end{aligned}$$

cioè

$$\begin{aligned} R_{\mathbf{y}}(\tau) &= \int_{-\infty}^{+\infty} R_{\mathbf{xy}}(\tau-\alpha) h(\alpha) d\alpha = [R_{\mathbf{xy}}(\tau) * h(-\tau)] * h(\tau) \\ &= R_{\mathbf{x}}(\tau) * h(\tau) * h(-\tau) \end{aligned}$$

Per ottenere $R_{\mathbf{y}}(\tau)$ si convolve $R_{\mathbf{x}}(\tau)$ con $h(\tau)$ e con $h(-\tau)$.

Trasformando 1° e 2° membro si trova :

$$G_{\mathbf{y}}(f) = G_{\mathbf{x}}(f) [H(f)H^*(f)]$$

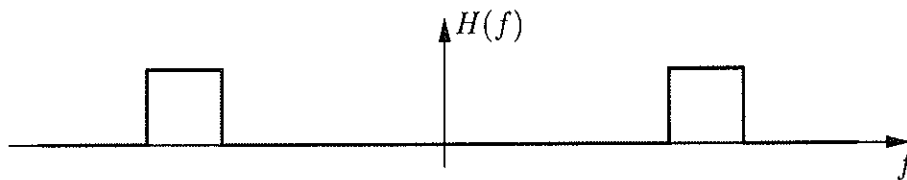
ovvero

$$G_{\mathbf{y}}(f) = |H(f)|^2 G_{\mathbf{x}}(f)$$

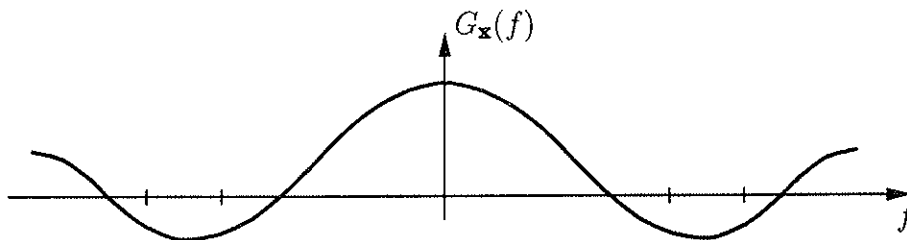
La densità spettrale del processo di uscita è la densità spettrale dell'ingresso moltiplicata per il modulo quadro della funzione di trasferimento del filtro.

Da qui si vede che la $G(f)$ di qualunque segnale aleatorio non può mai essere negativa, per nessun f .

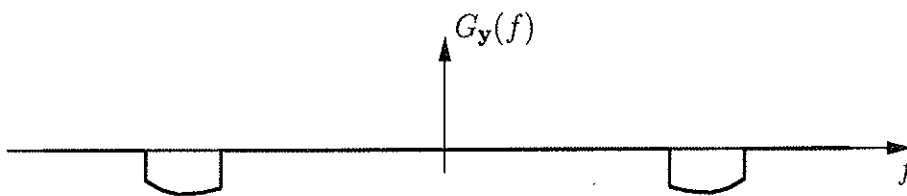
Infatti un filtro con $H(f)$ del tipo seguente:



applicato a una $G_{\mathbf{x}}(f)$ del tipo seguente



produrrebbe questa densità spettrale dell'uscita



e la potenza $P_{\mathbf{y}}$ di $\mathbf{y}(t)$ sarebbe negativa!

$$P_{\mathbf{y}} = \int_{-\infty}^{+\infty} G_{\mathbf{y}}(f) df < 0 \quad \text{IMPOSSIBILE}$$

Per quanto riguarda il valore medio del segnale aleatorio filtrato esso è

$$\begin{aligned} \eta_{\mathbf{y}} &= E\{\mathbf{y}(t)\} \\ &= E\left\{\int_{-\infty}^{+\infty} h(\lambda) \mathbf{x}(t - \lambda) d\lambda\right\} \\ &= \int_{-\infty}^{+\infty} h(\lambda) \underbrace{E\{\mathbf{x}(t - \lambda)\}}_{\eta_{\mathbf{x}}} d\lambda \\ &= \eta_{\mathbf{x}} \int_{-\infty}^{+\infty} h(\lambda) d\lambda = \eta_{\mathbf{x}} H(0) \end{aligned}$$

L'importante relazione trovata

$$G_{\mathbf{y}}(f) = |H(f)|^2 G_{\mathbf{x}}(f)$$

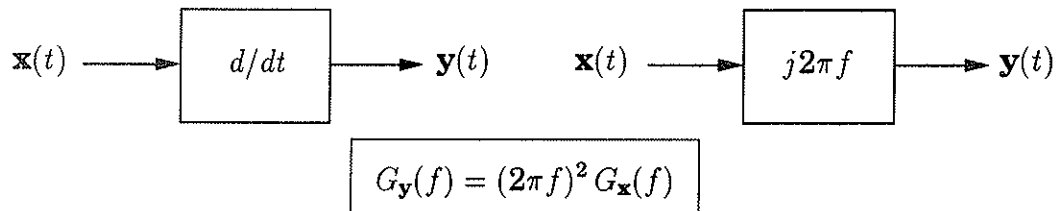
è utile anche per l'analisi di operazioni su segnali aleatori (anche se un vero filtro non c'è).

Esempi:

- Derivatore

$$y(t) = \frac{d\mathbf{x}(t)}{dt}$$

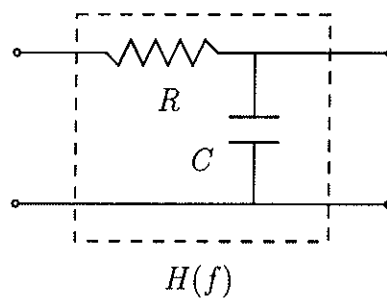
Poiché la derivazione corrisponde in frequenza ad $H(f) = j2\pi f$



Analogamente per l'integratore $H(f) = \frac{1}{j2\pi f}$

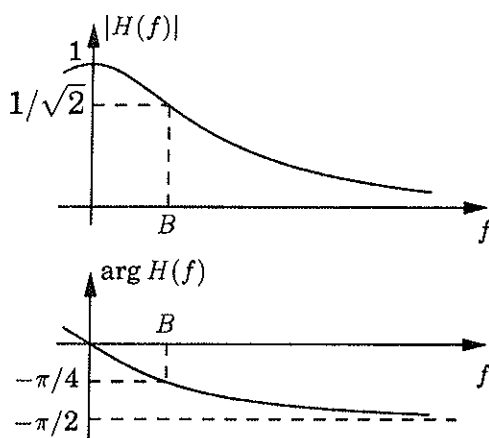
- Processo bianco filtrato

Si consideri il circuito seguente



Questo sistema ha funzione di trasferimento, già vista nel paragrafo 5.5

$$|H(f)|^2 = \frac{1}{1 + \left(\frac{f}{B}\right)^2} \quad \text{con } B = \frac{1}{2\pi RC}$$



Se l'ingresso $\mathbf{x}(t)$ è un segnale aleatorio con densità spettrale di potenza costante (uniforme).

$$G_x(f) = \text{cost}$$

l'uscita ha densità spettrale

$$G_y(f) = G_x(f) |H(f)|^2 = \frac{\text{cost}}{1 + \left(\frac{f}{B}\right)^2}$$

che non essendo più uniforme, è detta *colorata*.

6.5 Rumore come segnale aleatorio



Nei sistemi elettronici vi sono numerosi segnali elettrici *indesiderati*, provenienti da una varietà di sorgenti.

Si potrebbe operare una prima classificazione distinguendo le *interferenze* di origine, diciamo così, “umana” dal rumore che interviene naturalmente.

Le interferenze “umane” vengono da altri sistemi elettronici o elettrici; il rumore è invece prodotto ad esempio da disturbi atmosferici, radiazioni cosmiche o dai circuiti stessi (rumore circuitale).

Con una accurata progettazione dei vari sistemi, l'effetto di molti segnali indesiderati può essere ridotto o anche eliminato completamente.

Tuttavia, alcuni segnali aleatori sono *ineliminabili* e determinano nei sistemi elettronici, in particolare di telecomunicazione, limiti fondamentali alle prestazioni dei vari sistemi.

Tra questi segnali aleatori ineliminabili vi è appunto il *rumore elettrico* prodotto dall'agitazione termica degli elettroni nei conduttori (cavi, resistori ecc.).

Ci occuperemo di quei segnali aleatori che prendono appunto il nome di *rumore termico*.

6.5.1 Rumore termico

Per i nostri scopi, il rumore termico è il segnale aleatorio prodotto dal moto casuale di particelle cariche (solitamente elettroni) nei conduttori.

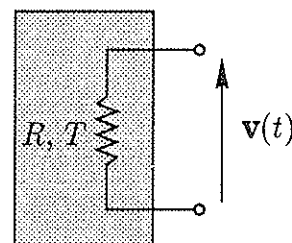
Dalla teoria cinetica, sappiamo che l'energia media di una particella a temperatura assoluta T °K è proporzionale a kT , con k costante di Boltzmann

$$k = 1.37 \times 10^{-23} \text{ Joules/grado}$$

È lecito pertanto attendersi che le quantità che descriveranno il rumore termico coinvolgano il prodotto kT . In effetti, sarà così.

Considerando il più semplice caso, quello di un resistore di resistenza R che si trovi a temperatura assoluta T , il moto casuale degli elettroni produce ai suoi capi, a circuito aperto, una tensione aleatoria $v(t)$ di rumore.

Questo segnale aleatorio $v(t)$ (processo stocastico) può essere descritto in termini di densità di probabilità, come tutti i processi.



Un modello molto utilizzato ci dice che $\mathbf{v}(t)$ è un processo *gaussiano* stazionario, con densità di probabilità di I ordine

$$f_{\mathbf{v}}(v; t) = \frac{1}{\sqrt{2\pi\sigma_{\mathbf{v}}^2}} e^{-\frac{v^2}{2\sigma_{\mathbf{v}}^2}}$$

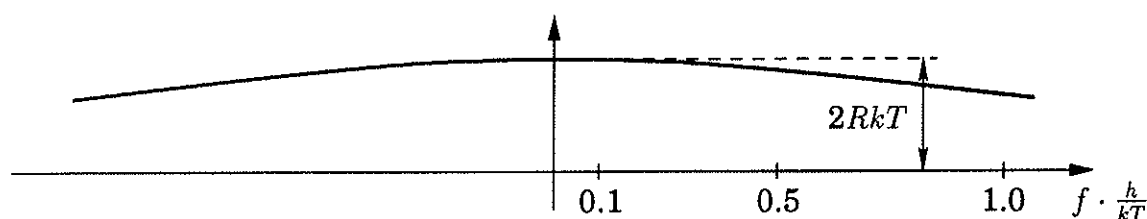
Quindi a media nulla ($\eta_{\mathbf{v}} = 0$), con varianza

$$\sigma_{\mathbf{v}}^2 = \frac{2(\pi kT)^2}{3h} \quad [\text{V}^2]$$

h (costante di Planck) = 6.62×10^{-34} Joule·secondo

Un'analisi della meccanica quantistica ci mostra che la densità spettrale della tensione di questo rumore termico è approssimabile con:

$$G_{\mathbf{v}}(f) \simeq 2RkT \left(1 - \frac{h|f|}{2kT}\right) \quad [\text{V}^2/\text{Hz}] \quad |f| \ll \frac{kT}{h}$$



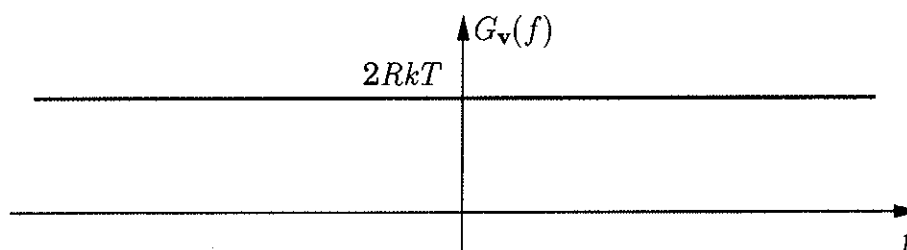
A temperatura ambiente [$T_0 = 290^\circ \text{K}$] per la resistenza, si ha

$$G_{\mathbf{v}}(f) \simeq \text{costante per } |f| < 0.1 \frac{kT_0}{h} \approx 10^{12} \text{ Hz}$$

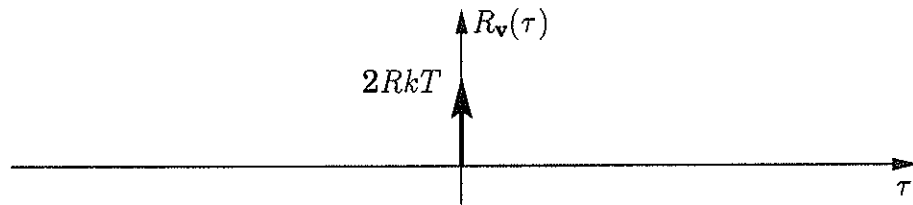
Questa regione comprende in pratica tutte le frequenze usate, e per i nostri scopi consideriamo

$$G_{\mathbf{v}}(f) = 2RkT \quad [\text{V}^2/\text{Hz}]$$

IL RUMORE TERMICO
È UN PROCESSO BIANCO



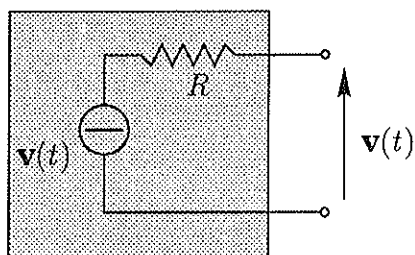
Questo modello è molto semplice. L'autocorrelazione corrispondente è



e la varianza $\sigma_v^2 = R_v(0) = +\infty$.

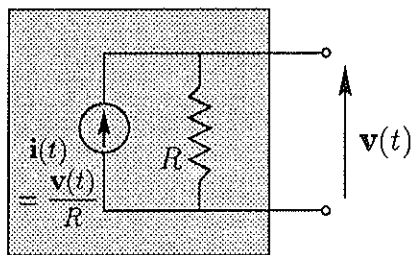
Si commette quindi un grave errore? Noi sapevamo che σ_v^2 è finita! L'errore ci sarebbe solo se $v(t)$ venisse usato così senza alcuna manipolazione. Poiché tuttavia, il processo di rumore è sempre filtrato, il modello funziona benissimo.

Del resistore rumoroso si dà un "equivalente" di Thevenin come segue, in cui R non è più rumorosa, ma ideale:



dove $G_v(f) = 2RkT \quad [V^2/Hz]$

e di Norton:

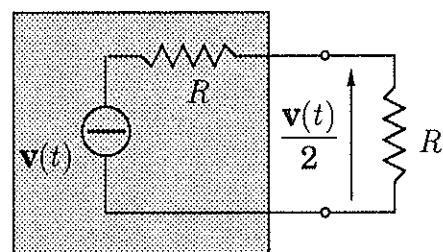


$$G_i(f) = \frac{G_v(f)}{R^2} = \frac{2kT}{R} \quad [A^2/Hz]$$

Anziché parlare di densità spettrale di potenza del processo $v(t)$ e di $i(t)$, si usa anche descrivere il rumore termico tramite la sua *potenza disponibile* e *densità spettrale di potenza disponibile* come segue.

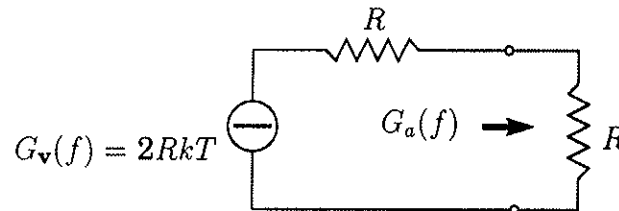
Si immagina che la resistenza sia chiusa su un *carico resistivo uguale*. In questo caso la potenza dissipata (=ceduta) al carico è massima

$$P_a = \frac{\langle [v(t)/2]^2 \rangle}{R} = \frac{\langle v^2(t) \rangle}{4R}$$



A questa potenza disponibile P_a corrisponde una densità spettrale della potenza disponibile

$$G_a(f) = \frac{G_v(f)}{4R} = \frac{1}{2} kT \quad [W/Hz] \quad \text{DIPENDE SOLO DALLA TEMPERATURA}$$

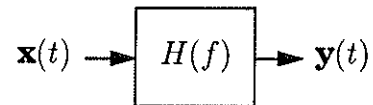


Sia che si parli di tensione di rumore che di corrente di rumore, che di potenza disponibile, le corrispondenti densità spettrali sono costanti in f

$$G_a(f) = \frac{\eta_a}{2} \quad G_v(f) = \frac{\eta_v}{2} \quad G_i(f) = \frac{\eta_i}{2}$$

6.5.2 Rumore filtrato

Consideriamo adesso rumore gaussiano bianco $\mathbf{x}(t)$ con densità spettrale $G_{\mathbf{x}}(f) = \eta/2$ applicato a un filtro LTI con funzione di trasferimento $H(f)$.



L'uscita $\mathbf{y}(t)$ è ancora un segnale aleatorio di “rumore filtrato”, con densità di probabilità gaussiana.

[PROPRIETÀ GENERALE: Processi gaussiani filtrati restano gaussiani.]

Si ha

$$G_{\mathbf{y}}(f) = \frac{\eta}{2} |H(f)|^2$$

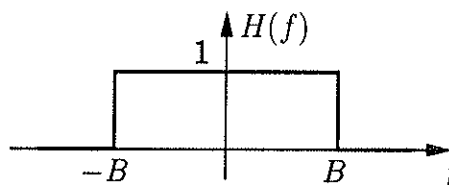
La densità spettrale di potenza dell'uscita ha la forma di $|H(f)|^2$.

Esempi:

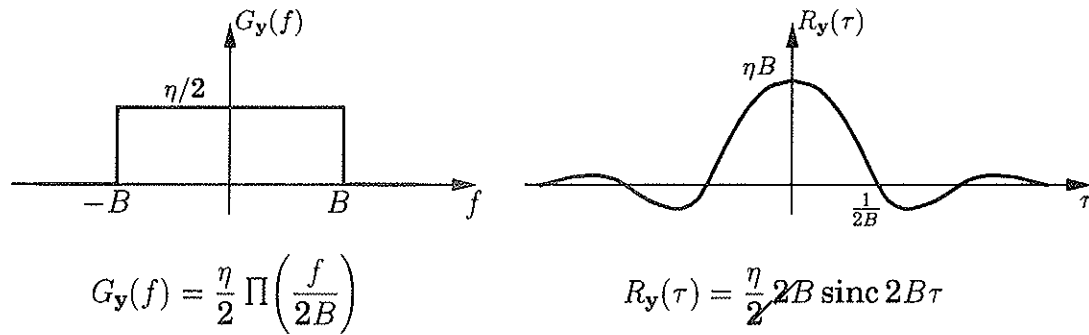
- (Passabasso ideale)

Se il filtro è passabasso ideale

$$H(f) = \Pi\left(\frac{f}{2B}\right)$$

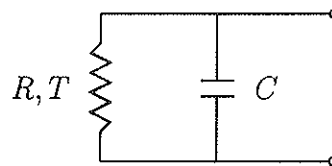


si ha per il rumore filtrato:



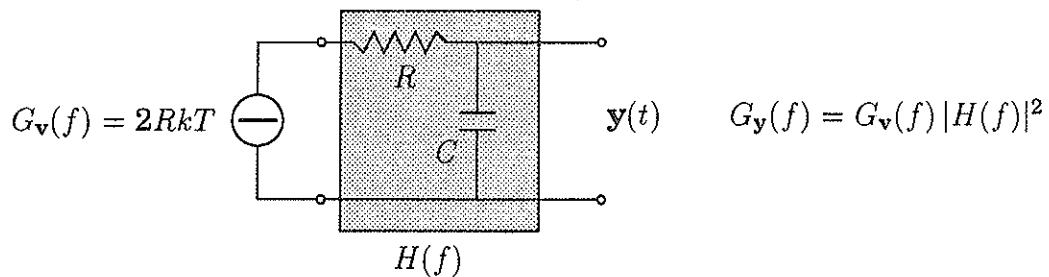
• (Rumore termico in un circuito RC)

Si consideri il circuito RC

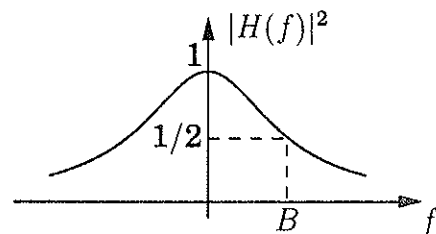


in cui R è un resistore rumoroso a temperatura T .

Usiamo l'equivalente di Thevenin:



$$|H(f)|^2 = \frac{1}{1 + \left(\frac{f}{B}\right)^2} \quad \text{con } B = \frac{1}{2\pi RC}$$



Si ottiene

$$G_y(f) = \frac{2RkT}{1 + \left(\frac{f}{B}\right)^2}$$

$$R_y(\tau) = 2RkT \pi B e^{-2\pi B|\tau|} = \frac{kT}{C} e^{-|\tau|/RC}$$

$$P_y = R_y(0) = \frac{kT}{C} \quad \text{non dipende da } R \quad [\text{variando } R \text{ varia la } H(f) \text{ ma anche } G_v(f)!]$$

6.5.3 Banda equivalente di rumore



Il rumore bianco filtrato ha potenza finita:

$$N_y = \int_{-\infty}^{+\infty} G_y(f) df = \int_{-\infty}^{+\infty} \frac{\eta}{2} |H(f)|^2 df = \eta \int_0^{\infty} |H(f)|^2 df$$

Questo integrale dipende solo dalla $H(f)$ del filtro.

Si definisce allora “banda equivalente di rumore” del filtro $H(f)$, la banda che un filtro ideale con lo stesso guadagno massimo di potenza g dovrebbe possedere per produrre in uscita la stessa potenza:

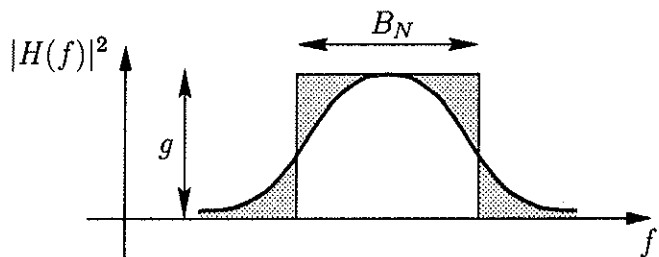
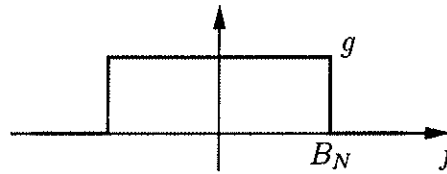
$$N_y = \frac{\eta}{2} g B_N$$

dove $g = |H(f)|_{\max}^2$.

Uguagliando si ha

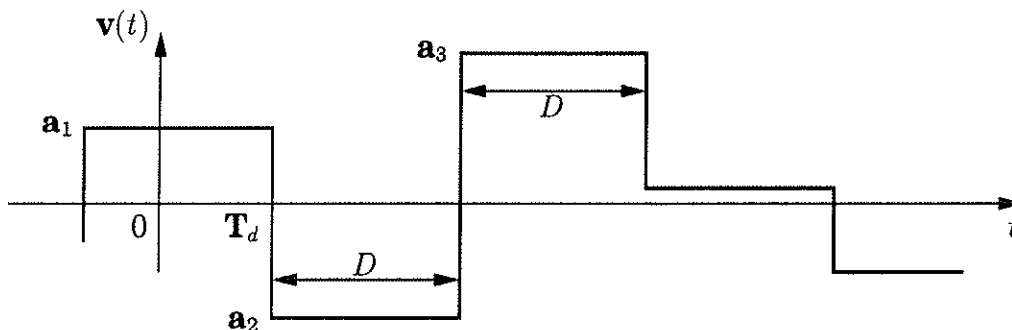
$$\frac{\eta}{2} g 2B_N = \eta \int_0^{\infty} |H(f)|^2 df$$

$$B_N = \frac{1}{g} \int_0^{\infty} |H(f)|^2 df$$



6.6 Segnale PAM (Pulse Amplitude Modulation) non sincronizzato

Questo segnale aleatorio è un insieme di impulsi rettangolari come indicato nella figura (funzione campione)



Tutti gli impulsi hanno durata D fissa. Il parametro T_d è una v.c. continua uniformemente distribuita tra 0 e D . L'insieme è quindi di funzioni-campione tra loro non sincronizzate.

La ampiezza a_k nell'intervallo k -esimo è una v.c. discreta a media nulla e varianza σ^2 nota. Le ampiezze in intervalli diversi sono tra loro indipendenti, per cui:

$$E\{a_i a_k\} = E\{a_i\} E\{a_k\} = 0 \quad \text{se } i \neq k$$

Il segnale è pertanto aleatorio in virtù della v.c. a_k e della v.c. T_d .

Analizziamo in dettaglio questo segnale, che prende il nome di PAM non sincronizzato.

Poiché $v(t) = a_k$ quando t cade nel k -esimo intervallo, si ha

$$E\{v(t)\} = E\{a_k\} = 0$$

$$E\{v^2(t)\} = E\{a_k^2\} = \sigma^2$$

Troviamo l'autocorrelazione di $v(t)$

$$R_v(t_1, t_2) = E\{v(t_1)v(t_2)\}$$

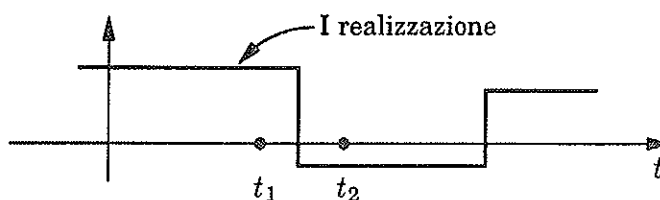
distinguendo vari casi per t_1 e t_2 .

- 1) Consideriamo t_1 e t_2 in intervalli sicuramente diversi, $|t_1 - t_2| > D$

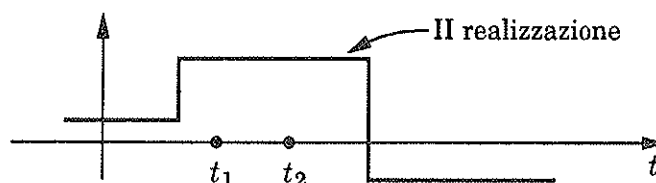
Ne consegue

$$E\{v(t_1)v(t_2)\} = E\{a_i a_k\} = 0 \quad \text{per } |t_1 - t_2| > D$$

- 2) Se invece $|t_1 - t_2| \leq D$ possono esserci due casi: t_1 e t_2 appartengono a intervalli diversi, oppure allo stesso intervallo.



Intervalli diversi
ma adiacenti



Stesso intervallo

Definiamo $\mathcal{A} = \{t_1 \text{ e } t_2 \text{ sono in intervalli adiacenti}\}$.

Se risultano in intervalli diversi adiacenti si ha

$$E\{\mathbf{v}(t_1)\mathbf{v}(t_2) | \mathcal{A}\} = E\{\mathbf{a}_j\mathbf{a}_k\} = 0$$

mentre

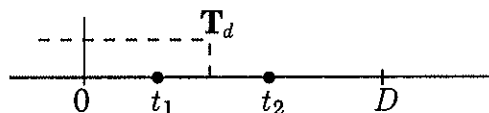
$$E\{\mathbf{v}(t_1)\mathbf{v}(t_2) | \bar{\mathcal{A}}\} = E\{\mathbf{a}_k^2\} = \sigma^2$$

da cui

$$\begin{aligned} E\{\mathbf{v}(t_1)\mathbf{v}(t_2)\} &= \cancel{E\{\mathbf{v}(t_1)\mathbf{v}(t_2) | \mathcal{A}\}} P(\mathcal{A}) + E\{\mathbf{v}(t_1)\mathbf{v}(t_2) | \bar{\mathcal{A}}\} [1 - P(\mathcal{A})] \\ &= \sigma^2 [1 - P(\mathcal{A})] \quad \text{per } |t_1 - t_2| \leq D \end{aligned}$$

Bisogna ancora trovare $P(\mathcal{A})$!

Si consideri $0 < t < D$



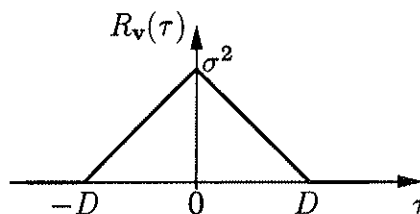
$$P(\mathcal{A}) = P\{\mathbf{T}_d \in (t_1, t_2)\} = \frac{t_2 - t_1}{D} \quad \text{se } t_2 > t_1$$

In generale

$$P(\mathcal{A}) = \frac{|t_2 - t_1|}{D}$$

quindi

$$R_{\mathbf{v}}(\tau) = \sigma^2 \left[1 - \frac{|\tau|}{D}\right]$$



La densità spettrale di potenza di $\mathbf{v}(t)$ è

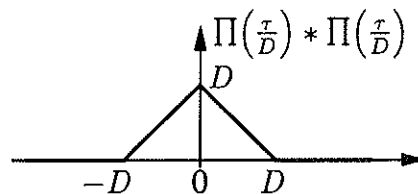
$$G_{\mathbf{v}}(f) = \mathcal{F}\{R_{\mathbf{v}}(\tau)\}$$

$$= \sigma^2 \mathcal{F}\left\{\frac{1}{D} \Pi\left(\frac{\tau}{D}\right) * \Pi\left(\frac{\tau}{D}\right)\right\}$$

$$= \sigma^2 \frac{1}{D} \mathcal{F}\left\{\Pi\left(\frac{\tau}{D}\right)\right\} \cdot \mathcal{F}\left\{\Pi\left(\frac{\tau}{D}\right)\right\}$$

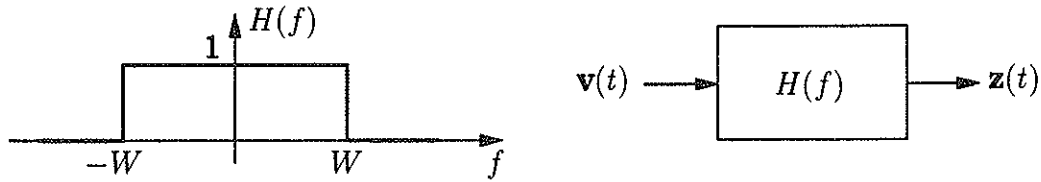
$$= \sigma^2 \frac{D^2}{D} \text{sinc}^2 fD$$

$$= \sigma^2 D \text{sinc}^2 fD$$



$$A \Pi\left(\frac{\tau}{D}\right) \rightarrow A \tau \text{sinc } f \tau$$

Questo risultato conclude l'analisi che ci eravamo prefissi. Se immaginasimo poi di filtrare questo segnale aleatorio con un filtro passa-basso ideale con $W = 1/D$



si otterrebbe

$$G_z(f) = G_v(f) |H(f)|^2 = \sigma^2 D \operatorname{sinc}^2 f D \Pi\left(\frac{f}{2W}\right)$$

Nel tempo ogni impulso rettangolare si trasforma in

$$\Pi\left(\frac{t}{D}\right) * 2W \operatorname{sinc}(2Wt)$$

